

高張力鋼の遅れ破壊現象について

辻 村 昇 *
今 村 弘 **

1. まえがき

最近土木、建築、航空機産業等は、ますます高抗張力鋼を要求している。これらは、一般に、特殊な低合金鋼を熱処理して高抗張力を得ているが、特に、抗張力 140 kg/mm^2 程度以上のものでは、その表面状況、切欠等の疲労に対する感受性が大きく、静的引張試験における引張強度より、比較的低い応力でも、ある種の雰囲気中で緊張しておくと、短時間にして、突然破断する現象が認められている。

これらは、遅れ破壊 (Delayed failure あるいは、静疲労 Static fatigue とも称される) と呼ばれているが、この感受性は、材料の強度、形状、あるいは、緊張時におけるその周囲の雰囲気によって大きく左右され、例えば、空気中強度にくらべ、水道水中、アルコール中などでは、遅れ破壊感受性が高く、また、熱処理により高強度を得た切欠きの多い材料ほど、この傾向は増大する事が報告されている。

したがって、土木、建築業のように、ボルト状の高張力鋼を水分子と接触する雰囲気で使用する場合は、材料の遅れ破壊に関する検討が重要な問題となってくる。

かゝる事点に立ち、筆者らも、抗張力 140 kg/mm^2 程度以上の熱処理鋼材で、水中遅れ破壊強度の著しく低下する鋼種のある事を認めたので、報告するものである。

2. 遅れ破壊に対する考え方

金属材料、あるいは、非金属材料の遅れ破壊に対する研究は、古くから多くの学者によって研究されてきている。

石英やガラスにも、この現象があり、その原因は、表面あるいは、内部のガス分子によるものである事が、ほぼ確められている。⁽¹⁾ 鋼の場合も、同様に、鋼中の水素に起因する、いわゆる、鋼の水素脆性として考えられている。⁽²⁾

すなわち、鋼を酸洗い、電気メッキ（カドミウム、クロム、亜鉛メッキなど）、陰極脱脂などの電気化学的処理をした場合に⁽³⁾ 鋼中に浸透した、原子状の水素が、Cottrell 雰囲気を形成し、クラックの先端などの、応力集中部に集まると、高圧の分子状水素となって、クラックの発達を促進し、クラックが一定の深さに達したとき、Griffith の亀裂伝播条件が成立して、一瞬にして、破断に至るといわれている。

この、遅れ破壊の起点となる、微小クラックは、通常の非破壊検査では、発見の出来ないもので、現在の技術では、完全に避ける事は出来ないとされており、表面肌の荒い、熱処理鋼棒などでは、特に、

* 神戸製鋼 神戸工場成品加工課長

** 神戸製鋼 神戸工場成品加工課

考慮する必要がある。

3. 供 試 材

3.1 供試材の化学成分および機械的性質

土木、建築業に使用される高張力鋼は、一般に、低合金鋼を熱処理して、製作される。したがって、本実験でも、数種の低合金鋼について熱処理し、強度を 140 Kg/mm^2 程度以上のものにした。

すなわち、実験 I では、合金元素が多く、抗張力 170 Kg/mm^2 程度とし、実験 II では、土木、建築用高張力鋼として使用される数種の低合金鋼について、抗張力 140 Kg/mm^2 程度の強度となる様にした。

供試材の化学成分および熱処理後の、機械的性質は、Table 1 および Table 2 の通りである。

Table 1 供試材の化学成分 (%)

sample No.	C	S_i	M_n	N_i	C_r	M_o	備 考
1	0.41	1.26	0.82	0.11	1.00	0.23	実験 I 用供試材
2	0.22	0.91	1.24	0.03	1.58	0.004	
3	0.29	0.29	1.24	0.01	1.02	0.32	
4	0.58	1.73	0.94	< 0.01	0.03	0.003	
5	0.21	0.25	0.80	0.01	1.04	0.32	
6	0.56	0.32	0.78	0.05	0.57	0.007	
7	0.43	0.36	0.75	1.83	0.84	0.28	

Table 2 供試材の機械的性質

sample No.		降伏点 $\sigma_y \text{ Kg/mm}^2$	抗張力 $\sigma_B \text{ Kg/mm}^2$	切欠強さ $\sigma_N \text{ Kg/mm}^2$	伸び $\epsilon \%$	絞り $\psi \%$	熱処理炉
1	A	144.3	172.5	—	9.6	35.4	直火炉
	B	129.5	159.5	—	10.6	38.2	
	C	143.8	170.2	—	9.8	34.9	塩浴炉
2		123	143	220	15	53	電気炉
3	A	127	149	210	16	60	
	B	131	161	220	15	57	
4		122	137	182	14	37	
5		119	140	206	16	60	
6		148	162	169	12	39	
7		145	146	199	12	43	

3.2 供試材の寸法および形状

Fig 1 IC、実験Ⅰおよび実験Ⅱに使用した、試験片の寸法、形状を示す。

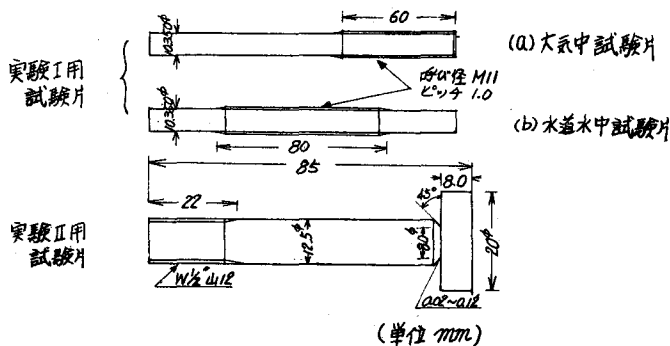


Fig 1 遅れ破壊試験片

実験Ⅰに使用した試験片は、大気中試験片については鋼棒の片端に、水道水中、セメント中のものは中央部に転造ネジ切りして供試材とした。

また、実験Ⅱに使用した試験片は、頭下に、さらに鋭い切欠きを加えているため、この部分の応力集中係数は、かなり severe なものとなっている（10以上と推定される）。

4. 試験方法

実験Ⅰについては、Fig 2 の様な装置により、大気中、水道水中、およびセメントモルタル中（セメント1：砂2：水0.5）の雰囲気で、各種応力で緊張して、負荷応力と破断するまでの時間との関係を求めた。

また、実験Ⅱについては、Fig 3 のような装置で、大気中および水道水中で、同様の試験を行った。試験時間については、PC鋼棒や高張力ボルトなどの破断事故は、締結後1週間以内の比較的短時間に生ずる場合が多く、したがって、本実験でも、100時間程度を限度とした。

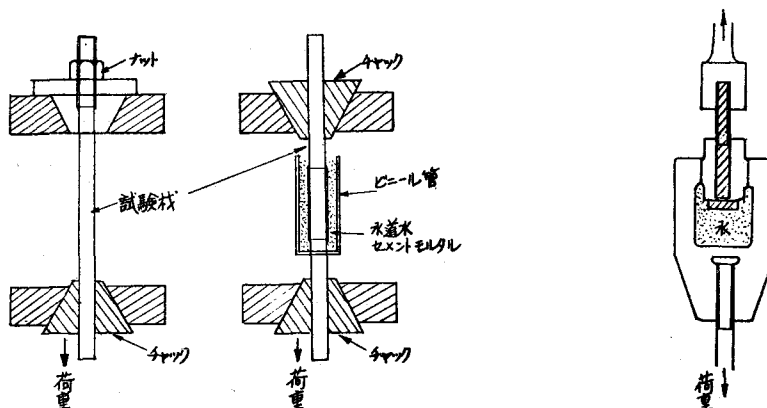


Fig 2 遅れ破壊試験取付状態（実験Ⅰ）

Fig 3 遅れ破壊試験
取付状況（実験Ⅱ）

5. 遅れ破壊試験結果

5.1 ネジ部遅れ破壊試験結果(実験I)

Fig 4は、実験I用試験片(sample No. 1, A, B, C)について、前述のような試験を行った結果である。

9-4

化学成分	<i>C</i>	<i>S i</i>	<i>Mn</i>	<i>Ni</i>	<i>C r</i>	<i>M o</i>
	%	0.41	1.26	0.82	0.11	1.00
機械的性質	降伏点 σ_y Kg/mm ²	抗張力 σ_B Kg/mm ²	伸び $\epsilon \%$	絞り $\psi \%$	ネジ部抗張力 Kg/mm^2	
A	144.3	172.5	9.6	34.4	160.8	
B	129.5	159.5	10.6	38.2	145.3	
C	143.8	170.2	9.8	34.9	159.2	

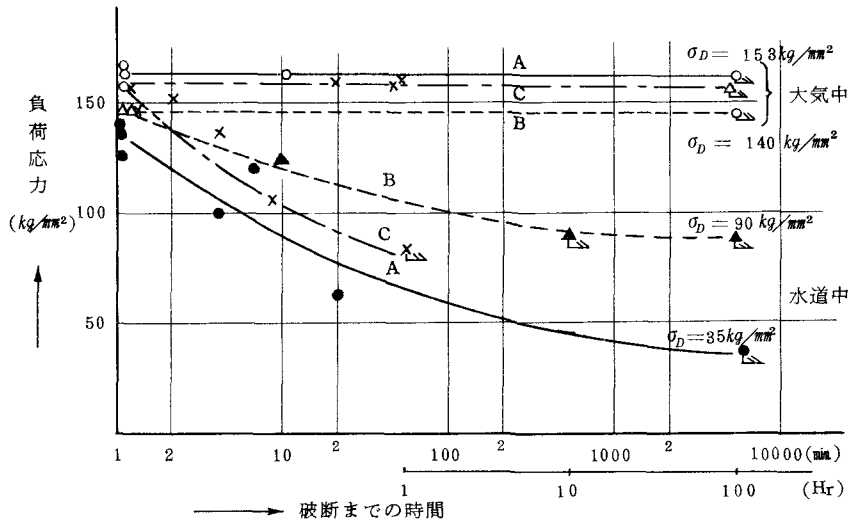


Fig 4 抗張力の違いによる遅れ破壊強度の比較

図にみるように、いずれも、水道水中では、大気中における破断強度より、きわめて低い応力でも、短時間にして破断する事がわかる。

また、試験片Aの方が、試験片Bよりも大気中強度は高いにもかかわらず、水道水中では、逆に、試験片Bよりも低い負荷応力でも、短時間にして破断していることは注意を要する。

試験片Cは、鉛浴炉で処理し、試験片の表面が酸化するのを防ぎ、その後ホーニング処理*を施して表面のクラックを取り除こうとしたものであるが、Fig 4の結果にみるように、この処理を施さない試験片Aよりも、いくぶん改善されるが、水道水中では、やはり大気中強度にくらべて、強度低下を見る。

なお、一般的の繰返し応力のかかる、動的疲労試験では、一定応力以下の負荷では破断しないという、いわゆる、疲労限が存在するが、それと同様なものが、遅れ破壊試験にも存在する。

*ホーニング処理とは、微細な粒子を高速で、金属の表面に当て、表面のクラックなどを、除去する処理である。

これを、遅れ破壊強度（あるいは、静疲労限）と呼んでいるが、これの大きいほど、耐遅れ破壊性の優れた材料といえる。

ここでは、100時間遅れ破壊強度を σ_D で表わしているが、Fig 4にみるよう、大気中では、 σ_D はほとんど σ_B に等しいが、水道水中では、きわめて低い値となる。

次に、試験片Aについて、セメントモルタル中（セメント1：砂2：水0.5）で同様の試験を行ったもの、および試験片Aのネジ部にグリースを塗布後、水道水中で同様の試験を行った結果をFig 5に示す。

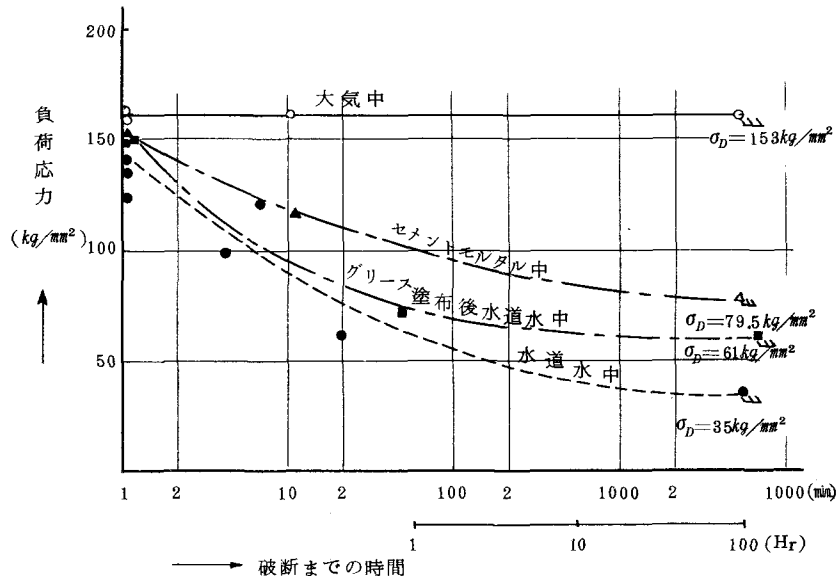


Fig 5 各種雰囲気での遅れ破壊試験結果

本供試材は、特に、遅れ破壊感受性の高い材料であるが、Fig 5の結果にみる様に、PC鋼棒などの、施工時の条件を考慮した、セメントモルタル中でも、遅れ破壊強度は低下し、ネジ部にグリースを塗布したものでも、水中遅れ破壊強度を顕著に低下することが判明した。

5.2 頭下に、切欠を持つ試験片の遅れ破壊試験（実験Ⅱ）

Fig 6～Fig 11は、前述Fig 3のような装置で、大気中、あるいは、水道水中で行った、遅れ破壊の試験結果である。

いずれの鋼種でも、大気中強度に対して、水道水中では、かなりの遅れ破壊強度の低下がみられる。

また、実験Iの場合と同様に、sample No. 3は、遅れ破壊感受性の大きい材料で、この実験でも、抗張力の高い方が、水道水中では、遅れ破壊強度は低下した（Fig 7参照）

sample №	2
ノッチ尖端R平均値	0.09 mm
化学成分	C Si Mn Ni Cr Mo
%	0.22 0.91 1.24 0.03 1.58 0.007
機械的性質	降伏点 σ_y 抗張力 σ_B 切欠強さ σ_N 伸び ϵ 紋り ψ
	123 kg/mm ² 143 kg/mm ² 220 kg/mm ² 15 % 53 %

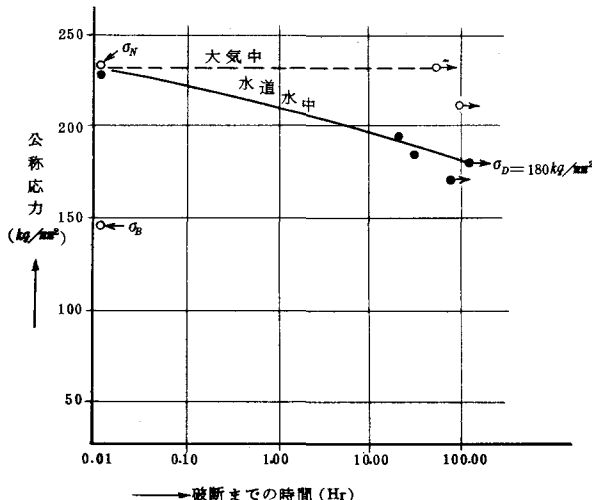


Fig. 6

sample №	3
ノッチ尖端R平均値	A 0.08 mm B 0.04 mm
化学成分	C Si Mn Ni Cr Mo
%	0.29 0.29 1.24 0.01 1.02 0.32
機械的性質	降伏点 σ_y 抗張力 σ_B 切欠強さ σ_N 伸び ϵ 紋り ψ
A	127 kg/mm ² 149 kg/mm ² 210 kg/mm ² 16 % 60 %
B	131 " 161 " 220 " 15 " 57 "

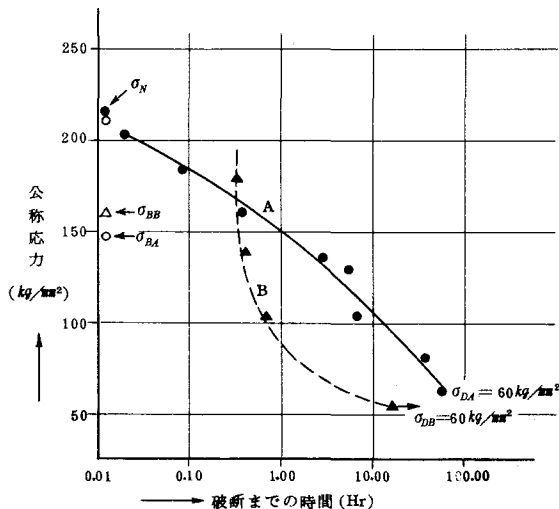


Fig. 7

sample No	4					
ノッヂ尖端 R 平均値	0.12 mm					
化学成分 %	C	Si	Mn	Ni	Cr	Mo
	0.58	1.73	0.94	< 0.01	0.03	0.003
機械的性質	降伏点 σ_y	抗張力 σ_B	切欠強さ σ_N	伸び ϵ	絞り ψ	
	122 kg/mm ²	137 kg/mm ²	182 kg/mm ²	14 %	37 %	

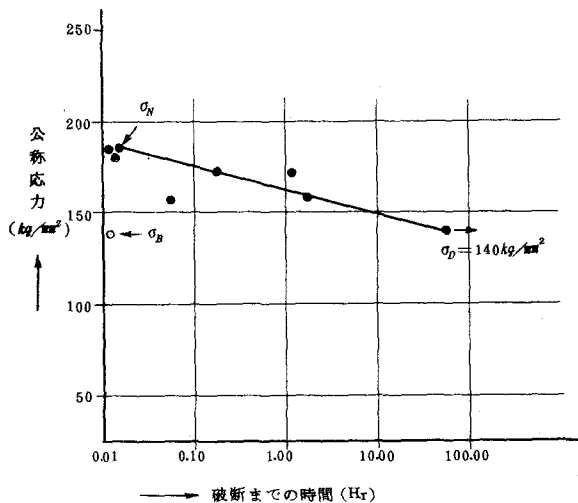


Fig. 8

sample No	5					
ノッヂ尖端 R 平均値	0.075 mm					
化学成分 %	C	Si	Mn	Ni	Cr	Mo
	0.21	0.25	0.80	0.01	1.04	0.32
機械的性質	降伏点 σ_y	抗張力 σ_B	切欠強さ σ_N	伸び ϵ	絞り ψ	
	119 kg/mm ²	140 kg/mm ²	206 kg/mm ²	16 %	60 %	

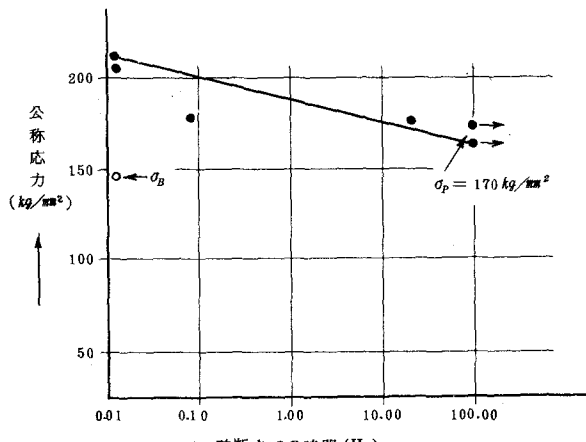


Fig. 9

sample No.	6
ノッヂ尖端R平均値	0.08 mm
化学成分	C
%	0.56
機械的性質	降伏点 σ_y
	148 kg/mm ²
	抗張力 σ_B
	162 kg/mm ²
	切欠強さ σ_N
	169 kg/mm ²
	伸び ϵ
	12 %
	絞り ψ
	39 %

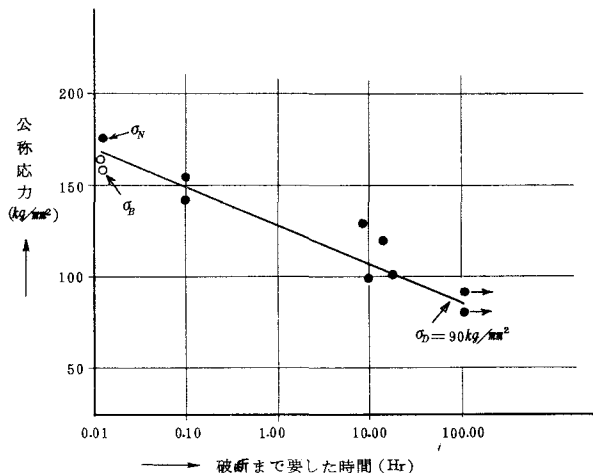


Fig. 10

sample No.	7
ノッヂ尖端R平均値	0.45 mm
化学成分	C
%	0.43
機械的性質	降伏点 σ_y
	145 kg/mm ²
	抗張力 σ_B
	146 kg/mm ²
	切欠強さ σ_N
	199 kg/mm ²
	伸び ϵ
	12 %
	絞り ψ
	43 %

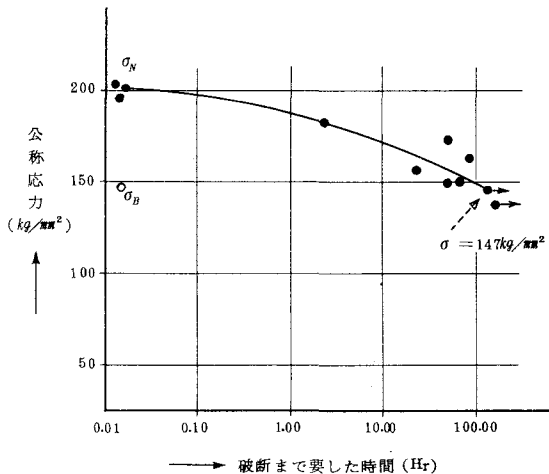


Fig. 11

6. 考 察

実験Ⅰで使用した材料については、特に遅れ破壊感受性の高い鋼種で、実用はされていないが、実験Ⅱで使用した鋼種は、実用されているもので、遅れ破壊感受性の大きい鋼種もあり、注意を要する。

尚、次表Table 3は、実験Ⅱで行った遅れ破壊試験の結果をまとめたものである。

Table 3 遅れ破壊試験結果まとめ

sample No.	抗張力 σ_B (kg/mm ²)	切欠強さ σ_N (kg/mm ²)	遅れ破壊 強度 σ_D (kg/mm ²)	σ_N/σ_B	σ_D/σ_B
2	143	220	180	1.54	1.26
3	A	149	210	1.41	0.40
	B	161	220	1.37	0.37
4	137	182	140	1.33	1.02
5	140	206	170	1.48	1.22
6	162	169	90	1.04	0.56
7	146	199	147	1.36	1.00

Table 3で σ_N/σ_B は、いわゆる、切欠強度比と称せられ、一般にこの値が1より大きいことが、高張力鋼の一つの条件とされている。しかしながら、sample No.3の例にみるように、 σ_N/σ_B の値が大きくとも、遅れ破壊強度は、きわめて低下する事があるから、これだけで鋼材を選定するのは危険である。

σ_D/σ_B は、鋼材の抗張力に対する100時間遅れ破壊強度の比で、この値が大きいほど、耐遅れ破壊性の優れた材料で、土木、建築業に使用される高張力鋼としては望ましい材料といえる。

7. 結 言

遅れ破壊についての試験方法は、まだ確立されておらず、今回の試験のみで、全てを保障する事は出来ないが、土木、建築業に使用される高張力鋼は、今回の試験と類似した条件下で使用されるので、使用に際しては、十分の検討が必要である。

8. 文 献

- (1) 日本金属学会：転位論の金属学への応用 (1957) P173-176
- (2) A.R.Troiano : "Embrittlement by Hydrogen and Other Interstitials," Metal progress, (Feb. 1960) P112.
- (3) 浅山行昭他、"強ジン鋼の水素脆性の研究" 新三菱重工技報 Vol. 6. No.1. P43.
- (4) 山本、藤田、："遅れ破壊試験法と2.3の結果," 鉄と鋼 Vol. 51 No.11 (1965) P2098